

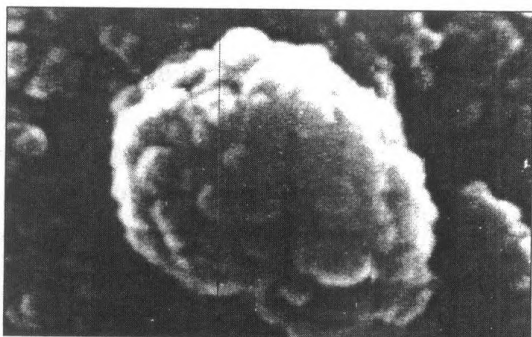
# НАНОЧАСТИЦЫ РАЗНОГО СОСТАВА КАК ВЕКТОРЫ ДЛЯ ЦЕЛЕВОЙ ДОСТАВКИ ЛЕКАРСТВЕННЫХ ПРЕПАРАТОВ В ОПУХОЛЕВЫЕ КЛЕТКИ

Г.Д. Телегеев, М.В. Дыбков,  
П.Г. Телегеева, Д.С. Ефременко,  
С.С. Малюта, Н.В. Куцевол,  
С.А. Филипченко, Е.Ф. Воронин,  
Л.В. Носач, Д.Ф. Глузман, М.П. Завелевич

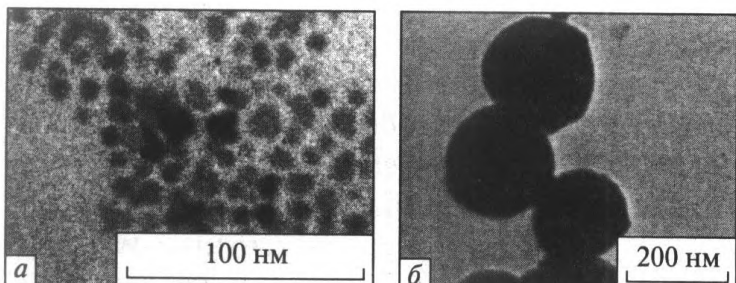
Доставка лекарственных препаратов в определенные клетки и ткани организма – одна из актуальных задач современной фармакотерапии. В последнее время наблюдается значительный интерес к разработке подходов, направленных на доставку лекарств непосредственно в клетки пораженных органов и тканей, не затрагивая при этом интактные клетки. Использование нанокомпозитов различного состава (нетоксичных и биодеградабельных) для контролируемой целевой доставки лекарственных средств сокращает время действия препарата на нецелевые клетки, повышает эффективность лечения, снижает побочные эффекты. Ключевым моментом при этом является способ проникновения носителя в клетку. Ниже предложен оригинальный подход с использованием физиологических клеточных механизмов: фагоцитоза, присущего специализированным клеткам (нейтрофилам, макрофагам) и клатрин-зависимого эндоцитоза. В качестве носителей синтезированы и исследованы нанокомпозиты на основе высокодисперсного кремнезема, магнитно-люминесцентные нанокомпозиты на основе  $\text{CoFe}_2\text{O}_4$ , нанокомпозиты на основе разветвленного сополимера декстрани-полиакриламида. Исследованы свойства наночастиц различного размера, нагруженных химиопрепаратами и рецепторными лигандами.

## Синтез специфических нановекторов на основе наноразмерного кремнезема и их модификация

Для синтеза нановекторов применяли иммобилизацию высокомолекулярных соединений путем их адсорбции из жидкой фазы на поверхности наноразмерных частиц высокодисперсного кремнезема АсиЛ-300. Для этого использовали ряд синтетических и природных полимеров из числа широко применяемых в медицинской практике: поливинилпирролидон (ПВП), полиэтиленгликоль (ПЭГ), натриевая соль карбоксиметилцеллюлозы (Na-КМЦ), поливиниловый спирт (ПВС) и желатин. Иммобилизацию полимеров проводили по протоколу [1]. Получено и охарактеризовано 6 векторов на основе высокодисперсного крем-



*Рис. 1.* Микрофотография высокодисперсного кремнезема (размер мицела – 1 мкм)



*Рис. 2.* Электронные микрофотографии магнитно-люминесцентных наночастиц: *а* –  $\text{CoFe}_2\text{O}_4$ ; *б* –  $\text{CoFe}_2\text{O}_4 @ \text{SiO}_2\text{Gd}_2\text{O}_3:\text{Eu}_2\text{O}_3$

незема (рис. 1) и полимеров в форме стабильных водных суспензий с содержанием твердой фазы 5 % мас.

Для определения эффективности проникновения наночастиц в клетку разработан жидкофазный способ иммобилизации флуоресцентного красителя изотиоцианата флуоресцеина (FITC) на поверхности нанокремнезема путем нековалентного связывания. Способ заключается в адсорбционной модификации нанокремнезема комплексами полимер-молекула FITC путем импрегнирования. Как полимеры были применены водорастворимый хитозан и полидекстран D70-g-PAA. Модификацию нанокремнезема проводили следующим образом. В раствор полимера добавляли FITC до заданной концентрации и выдерживали 24 ч для образования комплексов, а затем добавляли навеску нанокремнезема. Через 6 ч суспензию центрифугировали и удаляли надосадочную жидкость. Образец высушивали 24 ч при комнатной температуре и еще 3 ч при 50 °С. Этим методом на поверхность 1 г нанокремнезема наносили 100 мг полимера и 1,5 мг красителя.

Синтезированные образцы были охарактеризованы методами ИК- и УФ-спектрометрии и термогравиметрии. Показано, что адсорбированные на поверхности нанокремнезема комплексы удерживаются за счет образования многоцентровых водородных связей.

### Синтез магнитно-люминесцентных наночастиц и их использование в экспериментах *in vitro*

Магнитно-люминесцентные нанокомпозиты являются перспективным материалом для целенаправленного транспорта лекарств. Использовали наночастицы состава  $\text{CoFe}_2\text{O}_4$  и  $\text{CoFe}_2\text{O}_4 @ \text{SiO}_2 @ \text{Gd}_2\text{O}_3:\text{Eu}_2\text{O}_3$ , размером 8 и 200 нм соответственно (рис. 2) [2].

Наночастицы  $\text{CoFe}_2\text{O}_4$  были практически нетоксичными для клеток [3] в концентрации 0,099 мкг/мкл (на  $1 \cdot 10^6$  клеток/см<sup>3</sup>). При концентрации 1,66 мкг/мкл содержание жизнеспособных клеток составляло  $51 \pm 3,2\%$ .

Наночастицы  $\text{CoFe}_2\text{O}_4 @ \text{SiO}_2 @ \text{Cd}_2\text{O}_3\text{Eu}_2\text{O}_3$  были малотоксичны для клеток в концентрации 0,0196 мкг/мкл (на  $1 \cdot 10^6$  клеток/см<sup>3</sup>), а в концентрации 0,14 мкг/мкл содержание жизнеспособных клеток составляло  $75 \pm 2,3\%$ .

Наночастицы эффективно проникают в перевиваемые клетки мышиных макрофагов. По данным НТС-теста зафиксировано повышение уровня активных форм кислорода при концентрации 1,6 мкг/мкл  $\text{CoFe}_2\text{O}_4$ , что коррелирует с повышенным уровнем гибели клеток. Можно предположить, что данные частицы индуцируют оксидативный взрыв, приводящий к гибели клеток. Также, согласно нашим данным, ферромагнитные наночастицы способны адсорбировать атомы кислорода, что повышает окислительный фон (рис. 3).

Генотоксичность наночастиц определяли с помощью микроядерного теста. В контроле процент клеток с микроядрами составил около 9 %, а в пробе с максимальной концентрацией (1,66 мкг/мкл  $\text{CoFe}_2\text{O}_4$ ) – около 10 %. Таким образом, исследованные наночастицы не проявляют значительной генотоксичности.

Для целевой доставки препаратов в опухолевые клетки, на которых экспрессируется рецептор

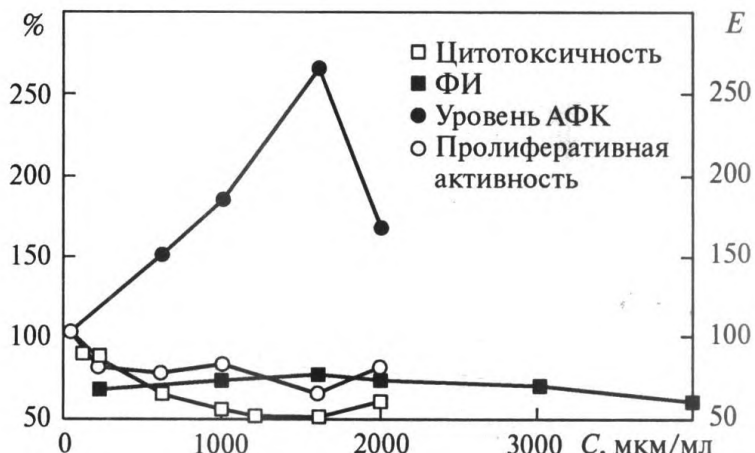
CD44, поверхность наночастиц модифицировали гиалуроновой кислотой [6]. Поглощение полученных наночастиц тестировали на различных культурах клеток: J774, Hep2G, HeLa, MG-63, HEK293, U937 [7]. Наличие наночастиц в клетках определяли окраской ферроцианидом калия. Наиболее эффективное поглощение наблюдалось в клетках Hep2G и MG-63, наименее эффективное – в U937 и HeLa (рис. 4).

Наночастицы  $\text{CoFe}_2\text{O}_4$  также модифицировали лекарственным препаратом метотрексатом – антагонистом фолиевой кислоты, а затем покрывали гиалуроновой кислотой. Частицы инкубировали с клетками линии MG63 с последующим определением пролиферативной активности обработанных клеток. Свойства данных наночастиц позволяют (в дальнейшем) использовать их для генерации тепловой энергии при облучении магнитным полем, целевой доставки лекарств в опухолевые ткани.

### Разветвленные полимеры дексран-полиакриламид как носители лекарственных противоопухолевых субстанций

Макромолекулы водорастворимых полимеров, благодаря их биосовместимости с клетками и живыми тканями и возможности их нагрузки лекарственными формами, являются перспективными наноконтейнерами для доставки лекарственных препаратов к определенным участкам организма [8]. В настоящее время для создания векторов преимущественно используют наноконтейнеры из биосовместимых линейных полимеров. Теоретические и экспериментальные исследования молекулярной структуры разветвленных полимеров позволяют рассматривать их как наноструктурированные полимерные системы [9].

Разветвленные сополимеры синтезировали методом радикальной привитой полимеризации с использованием окислительно-восстановительной системы  $\text{Ce}(\text{IV})/\text{HNO}_3$ . Синтез и идентификация образцов с использованием методов  $^1\text{H}$  ЯМР-спектроскопии и гель-проникающей хроматографии (SEC) детально описаны в [10, 11]. Разветвленные полизелектролиты были по-



**Рис. 3.** Сопоставление уровня цитотоксичности, ФИ [4], уровня АФК [5] и пролиферативной активности ( $C$  – концентрация наночастиц;  $E$  – оптическая плотность (для НСТ теста) [6])



**Рис. 4.** Накопление наночастиц в клетках остеосаркомы (MG-63)

лучены щелочным гидролизом синтезированных сополимеров и линейного ПАА [12]. В дальнейшем образцы были обозначены как Д70-ПААБан. Содержание карбоксилатных групп в составе (A) макромолекулы модифицированного сополимера определяли потенциометрическим титрованием [12].

Оценивали влияние наноконтейнеров-полимеров без терапевтического препарата и нагруженного химиотерапевтическим цитотоксическим препаратом цисплатином на жизнеспособность клеток. В качестве модельного объекта использовали культуру мышиных макрофагов J774, клетки Т-клеточного лейкоза Jurkat, клетки острого миелоидного лейкоза U937.

Молекулярные параметры сополимера Д70-ПАА по данным SEC:  $M_w = 2,15 \cdot 10^6$ ,  $R_g = 85$  нм,  $M_w/M_n = 1,72$ ,  $A = 43\%$ . Разветвленные поли-

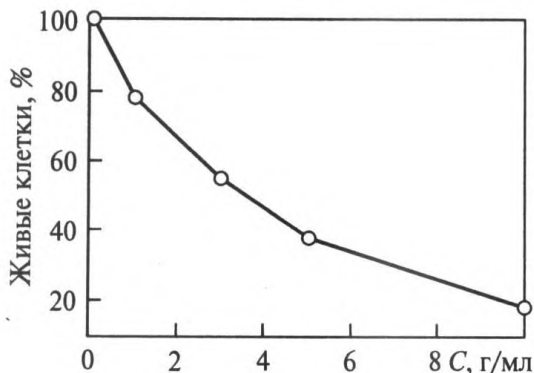


Рис. 5. Цитотоксичность наноконтейнеров с цисплатином для клеток J774

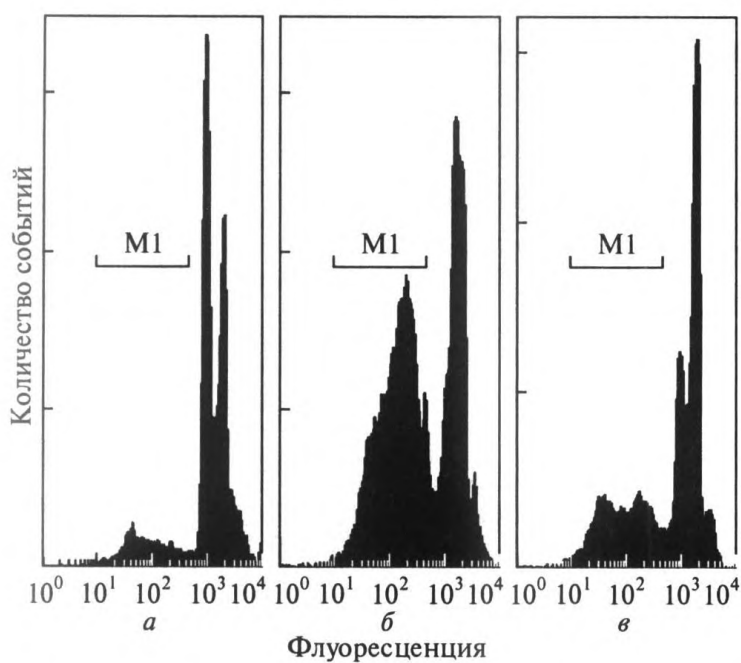


Рис. 6. Гистограммы распределения клеток U937 по содержанию ДНК при действии цисплатина в растворе и в сочетании с декстран-содержащими наночастицами: а – контроль; б – цисплатин в растворе 3 мкмоль/л; в – цисплатин в форме наночастиц 3 мкмоль/л

электролиты Д70-ПАА5ан характеризуются предельно развернутой конформацией привитых цепей в растворе.

Показано, что наноконтейнеры Д70-ПАА5 поглощались макрофагами и не были цитотоксичными. Фагоцитарный индекс составил 84 %, что позволило провести испытания с наноконтейнерами, нагруженными цитотоксичным химиопрепаратором цисплатином.

Кроме того, синтезированы комплексы сополимера Д70-ПАА5 и его анионного производного

с цисплатином. ИК спектры показали отсутствие взаимодействия негидролизованного сополимера с цисплатином, а на спектрах продукта взаимодействия цисплатина и Д70-ПАА5ан регистрировались изменения соотношений интенсивности полос поглощения карбамидных и карбоксильных групп в области 1500–1750 см<sup>-1</sup> и полос поглощения в области 1250–1450 см<sup>-1</sup>, что свидетельствует об образовании комплекса цисплатина с карбоксильными группами сополимера.

Дозозависимость цитотоксичности платиносодержащих комплексов для клеток J774 приведена на рис. 5.

Показано, что эффективность торможения клеточного роста в линиях Jurkat или U937 под действием препаратов платины в субтоксической концентрации 3 мкмоль/л одинакова, как для растворимой формы препарата, так и для цисплатина в форме наночастиц. Таким образом, плата на в сочетании с декстран-содержащими наночастицами не теряет рост-тормозящего действия на эти клетки. Эффекты цисплатина на прохождение клеточного цикла также были одинаковыми для растворимой формы препарата и препарата в форме наночастиц (увеличение фракции клеток в фазах S и G<sub>2</sub>/M). Но при этом уровень индукции апоптоза [13] препаратом в форме наночастиц несколько уступал таковому при действии эквимолярной концентрации цисплатина в растворе (рис. 6). Таким образом, действие цисплатина в форме наночастиц на лейкозные клетки приводит к изменению соотношения между рост-тормозящей и проапоптотической эффективностью платины при эквимолярном содержании действующего компонента.

В настоящее время ведутся исследования по использованию разветвленных полимеров декстран-полиакриламид как носителей для целевой доставки противоопухолевых препаратов в клетки миелоидных лейкозов М3–М5 на модели *ex vivo* не только для одного образца привитых сополимеров, а для всего спектра синтезированных образцов с разной молекулярной структурой.

Таким образом создана технология получения нановекторов на основе нанокремнезема, модифицированного функционизированными поли-

мерами, что позволяет расширить потенциальный круг используемых терапевтических агентов и возможных рецепторных лигандов.

Разработаны метод получения магнитно-люминесцентных нанокомпозитов типа "ядро@оболочка" на основе феррита кобальта и оксидов лантаноидов и протоколы их модификации рецепторными лигандами и противоопухолевыми препаратами. Показана эффективность действия наночастиц на культурах клеток. Свойства наночастиц позволяют использовать их для генерации тепловой энергии при облучении магнитным полем, целевой доставки лекарств в опухолевые ткани.

Разработаны теоретические и практические основы синтеза новых полифункциональных материалов разветвленной структуры на основе сополимеров дексстран-полиакриламида. Нетоксичность сополимера, высокая терапевтическая емкость наноконгейтера, подтвержденная в экспериментах на культурах опухолевых клеток, свидетельствует о перспективности дальнейшей разработки композиций таких наночастиц с цитотоксическими химиопрепаратами и другими лекарственными веществами.

## ЛИТЕРАТУРА

- Влияние модификации высокодисперсного кремнезёма поливинилпирролидоном на адсорбцию желатина / А.П. Василенко [та ін.] // Хим.-фармацевт. журн. – 2010. – 44, № 2. – С. 33–36.*
- Влияние условий формирования на строение, морфологию и магнитные свойства наноразмерных ферритов  $MnFe_{III}O_4$  ( $M = Mn, Co, Ni$ ) и  $Fe_2O_3$  / Й.В. Василенко [и др.] // Теорет. и эксперим. химия. – 2007. – 43, № 5. – С. 323–329.*

- Strober W. Trypan blue exclusion test of cell viability // Current Protocol Immunology. – 2001. – Appendix3: Appendix 3B. doi: 10.1002/0471142735. ima03bs21.*
- Pruzanski W., Saito S. Comparative study of phagocytosis and intracellular bactericidal activity of human monocytes and polymorphonuclear cells // Inflammation. – 1988. – 12, № 1. – P. 87–97.*
- Esfandiari N. Utility of the nitroblue tetrazolium reduction test for assessment of reactive oxygen species production by seminal leukocytes and spermatozoa // J. Andrology. – 2003. – 24. – P. 862–870.*
- Використання наночастинок CoFe<sub>2</sub>O<sub>4</sub> для цільової доставки метотрексату в клітини остеосаркоми / Д.С. Єфременко [та ін.] // Доп. НАН України. – 2013. – № 6. – С. 157–161.*
- Labeling efficacy of Superparamagnetic Iron Oxide Nanoparticles to human neural stem cells: comparison of ferrumoxides, mono crystalline iron oxide, cross-linked iron oxide" (CLIO) - NH<sub>2</sub> and tat-CLIO/ M. Song [et al.] // Korean J. Radiology. – 2007. – 8, № 5. – P. 365–371.*
- Застосування наночастинок у біомедицині / Телегеєва П.Г. [та ін.] // Biotechnologia. Acta. – 2013. – 6, № 2. – С. 21–32.*
- Іванчев С.С., Озерин А.Н. Наноструктуры в полимерных системах // Высокомол. соединения. – 2006. – 48, № 3. – С. 1531–1544.*
- Solution properties of dextran-polyacrylamide graft copolymers / N. Kutsevol [et al.] // Polymer. – 2006. – 47. – P.2061–2068.*
- Branched Polyelectrolytes Dextran-Graft-(Polyacrylamide-Co-Polyacrylic Acid) as Perspective Materials for Nanotechnology / N. Kutsevol [et al.] // Macromolec. Symposia. – 2012. – 317–318, Iss. 1. – P. 82–90.*
- Kutsevol N., Bezuglyi M., Bezugla T., Rawiso M. Star-like Dextran-graft-(polyacrylamide-co-polyacrylic acid) Copolymers / N. Kutsevol [et al.] // Ibid. – 2014. – 335. – P. 12–16.*
- A rapid and simple method for measuring thymocyte apoptosis by propidium iodide staining and flow cytometry / I. Nicoletti [et al.] // J. Immunolog. Methods. – 1991. – 139, № 2. – P. 271–279.*